

大阪市立大学 正員 小林治俊  
大阪市立大学 正員 園田惠一郎

**1 まえがき** 弹性基礎上のせん断変形を考慮した矩形板に対する解例がある。周辺単純支持板に対するFrederick[1], Voyatzis·Baluch[2]の級数解、周辺自由板に対するSvec[3]のFEM解、Henwoodら[4]による差分解であるが、粘弹性基礎上の同種の問題に対しては解例は見当らない。著者は[5,6,7]、先に各境界をもつ矩形や円形の薄板、更に厚円板に対する自由振動問題から得られる固有関数を用いて、弹性基礎問題に対する解式を求めた後に、〈対応原理〉によつてその解式を粘弹性問題へと拡張する方法を示した。本文は、この手法をせん断変形を考慮した矩形板に適用し、解の説明を試みたものである。平板の古典理論に対し、せん断変形を含めるための修正理論は幾つかあるが、本文では、せん断修正係数を導入するMindlin理論を用いた。Mindlin理論は、せん断修正係数を $5/6$ に採用するより、変位・断面力がPancの修正理論[8]、transverse stress OZの効果を無視した場合のReissner理論と一致する。

**2 弹性基礎問題**  $w$ を板中立面上のたわみ、 $\psi_x$ 、 $\psi_y$ を曲げ

に沿う板の回転とすると、つり合式は、

$$\frac{D}{2} \left[ (1-\nu) \nabla^2 \psi_x + (1+\nu) \frac{\partial w}{\partial x} \right] + KGHh \left( \frac{\partial w}{\partial x} - \psi_x \right) = 0 ;$$

$$\frac{D}{2} \left[ (1-\nu) \nabla^2 \psi_y + (1+\nu) \frac{\partial w}{\partial y} \right] + KGHh \left( \frac{\partial w}{\partial y} - \psi_y \right) = 0 ;$$

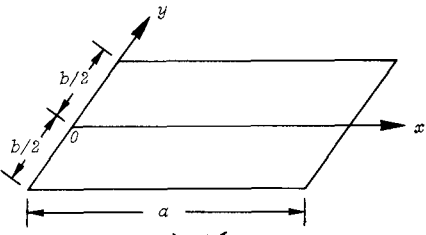


図1. 座標系

$$KGh \left( \nabla^2 w - \Psi \right) = \rho h w - g : \quad \nabla^2 = \frac{\partial^2}{\partial x^2} + \frac{\partial^2}{\partial y^2} ; \quad \Psi = \frac{\partial \psi_x}{\partial x} + \frac{\partial \psi_y}{\partial y} \quad (1)$$

上式で、 $D$ =曲げ剛性、 $G$ =せん断弾性係数、 $h$ =板厚、 $\nu$ =ボアソン比、 $K$ (=5/6)=せん断修正係数、 $\rho$ =基礎係数、 $g$ =分布荷重。断面力は、 $w$ 、 $\psi_x$ 、 $\psi_y$ により次式で表わされる。

$$M_x = -D \left( \frac{\partial \psi_x}{\partial x} + \nu \frac{\partial \psi_y}{\partial y} \right) ; \quad M_y = -D \left( \frac{\partial \psi_y}{\partial y} + \nu \frac{\partial \psi_x}{\partial x} \right) ; \quad M_{xy} = -\frac{1-\nu}{2} D \left( \frac{\partial \psi_x}{\partial y} + \frac{\partial \psi_y}{\partial x} \right) ; \quad Q_x = KGh \left( \frac{\partial w}{\partial x} - \psi_x \right) ; \quad Q_y = KGh \left( \frac{\partial w}{\partial y} - \psi_y \right) \quad (2)$$

本文では、境界条件が $x=0, a$ で単純支持、 $y=\pm b/2$ で固定もしくは自由である矩形板を考える(図1)：

$$M_x = \psi_y = w = 0 \quad \text{at } x=0, a ; \quad \psi_x = \psi_y = w = 0 \quad (\text{固定}) , \quad M_y = M_{xy} = Q_y = 0 \quad (\text{自由}) \quad \text{at } y=\pm b/2 \quad (3)$$

単純支持に対する条件は $M_{xy} \neq 0$ 、即ち $y$ 方向への拘束を意味する。この拘束の影響については、文献[9]などで議論されており、ここでは省略する。

式(1)の解式に、回転慣性を無視したMindlin Plateの固有関数、 $W_{mn}(y)$ 、 $\bar{\Psi}_{x,mn}(y)$ 、 $\bar{\Psi}_{y,mn}(y)$ を用いる。

$$w = \sum_{m=1}^{\infty} \sum_{n=1}^{\infty} A_{mn} W_{mn}(y) \sin \alpha_m x ; \quad \psi_x = \sum_{m=1}^{\infty} \sum_{n=1}^{\infty} A_{mn} \bar{\Psi}_{x,mn}(y) \cos \alpha_m x ; \quad \psi_y = \sum_{m=1}^{\infty} \sum_{n=1}^{\infty} A_{mn} \bar{\Psi}_{y,mn}(y) \sin \alpha_m x ; \quad \alpha_m = \frac{m\pi}{a} \quad (4)$$

固有関数は、3つのホテンシャル $W_1 \cdot W_2 \cdot W_3$ により次式で与えられる。

$$W_{mn} = W_1 + W_2 ; \quad \bar{\Psi}_{x,mn} = (1-\sigma_1) \alpha_m W_1 + (1-\sigma_2) \alpha_m W_2 + dW_3/dy ; \quad \bar{\Psi}_{y,mn} = (1-\sigma_1) dW_1/dy + (1-\sigma_2) dW_2/dy + \alpha_m W_3 \quad (5)$$

$$\begin{cases} W_1 = A_1 \cosh \eta_1 y \quad (\delta_1^2 < \alpha_m^2), \quad \bar{\Psi}_1 = \bar{A}_1 \cos \bar{\eta}_1 y \quad (\delta_1^2 > \alpha_m^2); \\ W_2 = A_2 \cosh \eta_2 y \quad (\delta_2^2 < \alpha_m^2), \quad \bar{\Psi}_2 = \bar{A}_2 \cosh \bar{\eta}_2 y \quad (\delta_2^2 > \alpha_m^2); \\ W_3 = A_3 \sinh \eta_3 y \quad (\delta_3^2 > \alpha_m^2), \quad \bar{\Psi}_3 = \bar{A}_3 \sinh \bar{\eta}_3 y \quad (\delta_3^2 > \alpha_m^2) \\ \eta_1^2 = \alpha_m^2 - \delta_1^2, \quad \bar{\eta}_1^2 = \delta_1^2 - \alpha_m^2, \quad \eta_2^2 = \delta_2^2 - \alpha_m^2, \quad \bar{\eta}_2^2 = \delta_2^2 + \alpha_m^2, \quad (\delta_1^2, \delta_2^2) = \frac{1}{2} \lambda_{mn}^{-4} (\pm S + \sqrt{S^2 + 4 \lambda_{mn}^{-4}}) a^{-2} \\ \delta_3^2 = 2/[S \sigma_1(1-\nu)], \quad (\sigma_1, \sigma_2) = S ((\delta_1 a)^2, -(\delta_2 a)^2), \quad S = D/KGh a^2, \quad \lambda_{mn} = \text{固有値}. \end{cases}$$

定数 $A_1$ ,  $\bar{A}_1$ ,  $A_2$ ,  $A_3$ 及び固有値を与える特性方程式は、 $y=\pm b/2$ における境界条件より決定される。

次に、固有関数の直交性を利用して荷重 $g(x, y)$ を次の様に展開する。

$$g(x,y) = \sum_{m=1}^{\infty} \sum_{n=1}^{\infty} g_{mn} W_{mn}(y) \sin mx ; \quad g_{mn} = \frac{\int_0^{a/2} \int_{-b/2}^{b/2} g(x,y) W_{mn}(y) \sin mx dx dy}{\int_0^{a/2} \int_{-b/2}^{b/2} [W_{mn}(y) \sin mx]^2 dx dy} \quad (6)$$

式(4)(6)を式(1)に代入すれば、最初の2式は恒等的に満たされ、第3式より未定係数  $A_{mn}$  が決定される。

$$A_{mn} = \frac{a^4}{D} \cdot \frac{g_{mn}}{\lambda_{mn}^4 + K^4}, \quad K^4 = \frac{k_1 a^4}{D} \quad (7) \quad \text{また, } W = \frac{a^4}{D} \sum_{m=1}^{\infty} \sum_{n=1}^{\infty} \frac{g_{mn}}{\lambda_{mn}^4 + K^4} W_{mn}(y) \sin mx \quad (8)$$

$\psi_x, \psi_y$  は省略。基礎反力は  $P = kW$  より求められる。

**3 粘弾性解** 式(6)において、基礎係数をサ固有関数に含まないもので式(8)に<対応原理>を適用すると、ラプラスの逆変換が容易にとれて粘弾性基礎問題の解式を得ることが出来る。ここでは、三要素モデル(図2)についてのみ記述するが、他の線形粘弾性モデルにも同様に解式が求められる。

Step 荷重  $H(t) g(x,y)$ に対する粘弾性解のラプラス変換式  $\bar{W}$  とその逆変換式(粘弾性解)  $W$  は、

$$\bar{W}(x,y,s) = a^4 \sum_{m=1}^{\infty} \sum_{n=1}^{\infty} \frac{\bar{g}_{mn}(s)}{D \lambda_{mn}^4 + \bar{k}(s) a^4} W_{mn}(y) \sin mx ; \quad W(x,y,t) = \bar{W}(x,y,s) - \frac{a^4}{D} \sum_{m=1}^{\infty} \sum_{n=1}^{\infty} \frac{\bar{g}_{mn} T(x)}{\lambda_{mn}^4 + K^4} W_{mn}(y) \sin mx \quad (9)$$

$$z = z^*, \quad \bar{k}(s) = k_1(1+t_c s)/(1+t_r s), \quad t_c = (1+k_1/k_2) z^*/a, \quad t_r = z^*/k_2, \quad \bar{g}_{mn}(s) = g_{mn}/s,$$

$$T(x) = (K_1/\lambda_{mn})^4 / [(1+(K_2/\lambda_{mn})^4) \exp\{-[(K_2/k)^4 + (K_2/\lambda_{mn})^4]/[1+(K_2/\lambda_{mn})^4] \cdot t/t_c\}], \quad K_1^4 = k_1 a^4/D, \quad K_2^4 = K^4 + K_1^4$$

式(9)で  $W(x,y)$  は式(8)で与えられる弹性解で、数値計算の際は、基礎係数を含む項と含まない項とに分離することにより収束性を高めることが出来る[7]。

**4 数値計算例**  $y = \pm b/2$  で自由辺を有する正方形板が、板の中央に  $0.2a \times 0.2a$  の部分等分布荷重を受ける場合につき計算を行った。他の諸元は、 $\nu = 1/6$ ,  $K = 3$ ,  $k_1 = 2\%_0$ 。表1は、 $y/a$  に対する、たわみ・曲げモーメントの値(弹性基礎問題)を示したもので、 $y/a$  の増加に対し、板中央での  $W$ ,  $M_y$ 、自由辺の中点での  $M_x$  が増加する一方、板中央での  $M_x$ 、自由辺での  $W$  は減少していることがわかる。図2は、三要素モデル基礎上の正方形板のたわみの経時変化を描いたものである。初期状態、最終状態は、基礎係数が、それぞれ  $3\%_0$  ( $k_1 + k_2$ )、 $k_2$  の弹性基礎問題に対応していき。

表1.  $y/a$  に対するたわみ、モーメント(弹性基礎問題)

$y/a$	$x=a/2 ; y=0$			$x=a/2 ; y=\pm b/2$	
	$w$	$M_x$	$M_y$	$w$	$M_x$
0	0.4330	0.8240	0.5599	0.2824	0.3488
0.05	0.4380	0.8233	0.5611	0.2806	0.3552
0.10	0.4521	0.8195	0.5618	0.2789	0.3593
0.15	0.4751	0.8126	0.5619	0.2775	0.3613
0.20	0.5068	0.8029	0.5615	0.2761	0.3610

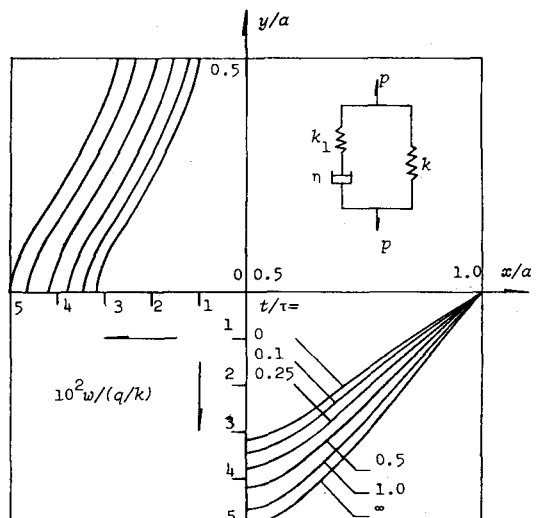


図2. 三要素モデル基礎上の正方形板のたわみの経時変化

#### References

- [1] D. Frederic: Thick Rectangular Plates on an Elastic Foundation, Transaction, ASCE, Vol.122(1957)
- [2] G.Z.Voyatzis et al.: Thick Plates on Elastic Foundations: Proc. ASCE, EMD, Vol.105(1979)
- [3] O.J.Svec: Thick Plates on Elastic Foundations by Finite Elements, Proc. ASCE, EMD, Vol.102(1976)
- [4] D.J.Henwood et al.: Finite Difference Solution of a System of First-Order..., J.N.M.E., Vol.17(1981)
- [5] K.Sonoda et al.: Circular Plates on Linear Viscoelastic Foundations, Proc. ASCE, EMD, Vol.104(1978)
- [6] K.Sonoda et al.: Rectangular Plates on Linear Viscoelastic Foundations, Proc. ASCE, EMD, Vol.106(1980)
- [7] H.Kobayashi et al.: Thick Circular Plates on Linear Viscoelastic Foundations, NACTAM, Vol.31(to appear)
- [8] V.Panc: Theories of Elastic Plates, Noordhoff, (1975)
- [9] K.Marguerre and H.T.Woernle: Elastic Plates, Blaisdell, (1967)